

УНИВЕРСАЛЬНОЕ ВЕКТОРНОЕ УПРАВЛЕНИЕ АСИНХРОННЫМ ПРИВОДОМ

Введение. Под универсальным векторным управлением понимается управление, обеспечивающее работоспособность привода во всех режимах работы (двигательном, генераторном, холостого хода) для управления скоростью и положением.

Для позиционного управления обычно применяются двигатели постоянного тока, основным недостатком которых является наличие коллектора, который усложняет двигатель, снижает его надежность, удороожает обслуживание, делает невозможным его эксплуатацию в агрессивных и пожароопасных средах. В настоящее время для позиционного управления чаще используются синхронные двигатели с постоянными магнитами, для которых характерна высокая стоимость постоянных магнитов и их способность к размагничиванию, в результате чего с течением времени характеристики двигателей ухудшаются. Кроме того, мощность синхронных двигателей с постоянными магнитами ограничена. В то же время, для поддержания и регулирования скорости получили широкое распространение асинхронные двигатели с короткозамкнутым ротором (АД), не имеющие перечисленных выше недостатков. АД с векторным управлением (ВУ) способны обеспечить высококачественное управление во всем диапазоне скоростей. Поэтому естественно желание использовать АД и для позиционного управления. В случае удачного решения этого вопроса появляется возможность создания универсального электропривода, который, по желанию потребителей, путем простых коммутаций можно перенастроить как для позиционного, так и для скоростного управления.

Вопросам позиционного управления АД, в отличие от управления скоростью, посвящено не большое количество работ [1-5]. В работе [1] для полностью известного АД по информации позиционного датчика и датчиков статорных токов получен алгоритм управления, обеспечивающий экспоненциальную устойчивость заданной траектории без гарантии показателей качества системы управления. В публикациях [2, 3] с полностью известным вектором состояния (за исключением потокосцепления ротора) и не известным сопротивлением ротора синтезированы алгоритмы, обеспечивающие асимптотическую устойчивость заданной траектории (без гарантии показателей качества). К гладкости заданной траектории предъявляются жесткие требования. В работе [4] для обеспечения робастности по отношению к неопределенности параметров двигателя и внешних возмущений применено управление со скользящими режимами. Авторы работы [4] справедливо считают, что этому виду управления присущ ряд существенных недостатков. В статье [5] для управления скоростью и положением использовано косвенное векторное управление (КВУ). По заявлению авторов статьи, приводы с КВУ теряют работоспособность при не точном знании сопротивления ротора и при наличии нагрузки (по нашему мнению, это особенно характерно для генераторного режима). Для уменьшения этого недостатка предложено КВУ дополнить робастным компенсатором.

Таким образом, в доступной литературе отсутствует информация о системах высокоточного управления положением ротора АД в генераторном и двигательном режиме, обладающих робастностью по отношению к неопределенности сопротивлений статора и ротора, момента инерции ротора, резко переменной нагрузки с неизвестным законом изменения.

Поставим цель разработать такой алгоритм векторного управления, который с минимальными изменениями обеспечит точное робастное по отношению к неопределенностям привода управление скоростью и перемещением.

Формирование универсального управления. При разработке универсальной системы управления за основу примем прямое векторное управление (ПВУ) скоростью. Для управления скоростью будут использоваться только клеммные измерения тока и напряжения статора. При позиционном управлении клеммные измерения дополняются измерением положения с помощью внешнего датчика. Наличие позиционного датчика позволяет осуществить более точную оценку скорости по его информации с помощью различного вида наблюдателей, дифференциаторов и экстраполяторов. Клеммные токи и напряжения представляют собой главные гармоники, на которые накладываются шумы, обусловленные ШИМ. В алгоритмах ВУ используются главные гармоники. Для их выделения из шумов применим компенсационные фильтры [6]. Для разработки универсального управления, по нашему мнению, в наибольшей степени подходят следующие методы. Метод оценки синхронной скорости $\hat{\omega}_0$ [7], который не зависит от сопротивлений ротора и статора. Метод оценки сопротивления статорной цепи \hat{R}_s [7], работоспособный как при наличии электромагнитного момента, так и в режиме намагничивания двигателя. Метод оценки потокосцепления ротора $\hat{\psi}$ [8], работоспособный при всех скоростях ротора. Для оценки сопротивления ротора воспользуемся его связью с сопротивлением статора, обусловленной взаимосвязью температур ротора и статора, на что указано в работах [9-13]. В работах [9, 12, 13] считают, что температуры обмоток ротора и статора равны, в публикациях [10, 11] экспериментально определено, что температура обмотки ротора на 10°C больше температуры обмотки статора. Учитывая малую разницу температур, будем полагать

$$\hat{R}_r = R_{r0}(\hat{R}_s R_{s0}^{-1}). \quad (1)$$

Скорость ротора ω оценивается по известным выражениям

$$\omega = (\omega_0 - \omega_{sl})n^{-1}, \quad \omega_{sl} = i_{qp}(T_r i_{dp})^{-1}, \quad T_r = L_r R_r^{-1}. \quad (2)$$

где n – количество пар полюсов, ω_{sl} – абсолютная скорость скольжения, i_{dp}, i_{qp} – программные значения статорных токов, записанные в синхронном базисе, T_r – постоянная времени ротора. На рис. 1 сплошными и пунктирными линиями показана функциональная схема блока описанных выше идентификаторов и наблюдателей, используемых при управлении скоростью.

Достоинством совокупности перечисленных методов является то, что они между собой не связаны обратными связями, что способствует устойчивости работы всей системы.

Алгоритм комбинированного управления скоростью задается выражениями [14]

$$m_{00} = -k_0(\omega - \omega_p) + I_0\dot{\omega}_p; \quad (3)$$

$$\dot{z} = I m_{00}, \quad \hat{f} = z - I_0\omega, \quad m_0 = m_{00} - \hat{f}, \quad (4)$$

где I_0 – номинальное значение приведенного момента инерции ротора, k_0, I – скалярные коэффициенты усиления регулятора и наблюдателя, \hat{f} – оценка неопределенности, в которую включены нагрузка и возмущения движения, обусловленные неопределенностями момента инерции, индуктивностей, постоянной времени ротора, переменностью потокосцепления и др. факторы.

Алгоритм комбинированного позиционного управления для отслеживания заданной траектории $\vartheta_p, \dot{\vartheta}_p, \ddot{\vartheta}_p$ принимается в виде (4), где $\omega = \dot{\vartheta}$, и

$$m_{00} = -k_0(\vartheta - \vartheta_p) - k_1(\dot{\vartheta} - \dot{\vartheta}_p) + I_0\ddot{\vartheta}_p. \quad (5)$$

Перечисленные методы скоростного и позиционного комбинированного управления с оценкой и компенсацией неопределенностей делают систему робастной по отношению к неопределенностям, включенными в f .

Оценку скорости ротора при позиционном управлении получим с помощью асимптотического дифференцирования позиционного сигнала. В этом случае блоки 9, 5, 6 не используются. Оценку температуры статора T_{ts} и ротора T_r можно получить после оценки сопротивления статора по выражениям

$$\hat{T}_{ts} = T_0 + (\hat{R}_s R_{s0}^{-1} - 1)\alpha^{-1}, \quad \hat{T}_r = \hat{T}_{ts}. \quad (6)$$

Для формирования управляющего напряжения используем регуляторы тока, описанные в работе [15], которые точнее, чем традиционные ПИ-регуляторы. Функциональная схема АД с ВУ представлена на рис. 2.

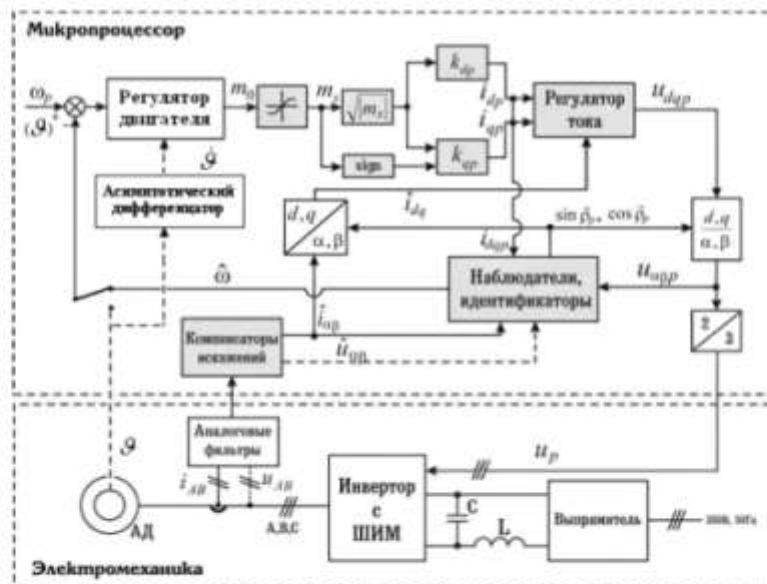


Рисунок 2 – Функциональная схема АД с векторным управлением

Результаты моделирования и выводы. На рис. 3 представлены истинная скорость ротора и её оценка при управлении только по клеммным измерениям в процессе разгона двигателя, подачи и сброса нагрузки соответственно при 0.8 с и 1.5 с, реверса и последующего торможения до нулевой скорости. На рис. 4 показана работа двигателя по поддержанию нулевой скорости ротора как с номинальной нагрузкой, так и без неё. Погрешность поддержания нулевой скорости при номинальной нагрузке не более 0.01 c^{-1} .

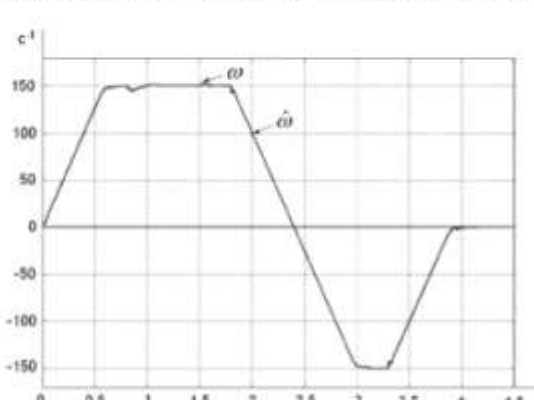


Рисунок 3



Рисунок 4

На рис. 5 показан разгон двигателя при номинальной нагрузке от нулевой скорости до скорости 10 rad/s , в процессе которого осуществлялась идентификация сопротивления статора, показанная на рис. 6. Следует обратить внимание на то, что управление движением происходило с участием идентифицируемого сопротивления, начальная оценка которого была в 2 раза больше его истинного значения. Одновременно в индикаторном режиме осуществлялась идентификация сопротивления статора с начальной оценкой в 2 раза меньшей его истинного значения. Как видно на рис. 5 и 6, после завершения переходного процесса устанавливались заданная скорость 10 rad/s и точная оценка сопротивления. Известно, что для управления скоростью АД только по клеммным измерениям наиболее критичным является генераторный режим. Для иллюстрации работоспособности предлагаемой системы на рис. 7 показан процесс разгона двигателя до скорости 10 rad/s с номинальной нагрузкой в генераторном режиме. Как видно на рисунке, наблюдается не большое перерегулирование, которое можно устранить путем применения задатчика интенсивности разгона. Для иллюстрации работоспособности предлагаемого универсального векторного управления АД на рис. 8 показан разворот ротора двигателя на 0.5 rad с последующей стабилизацией этого положения при подаче и сбросе номинальной нагрузки.

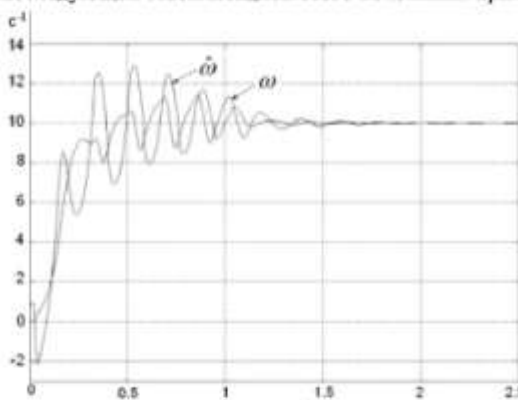


Рисунок 5

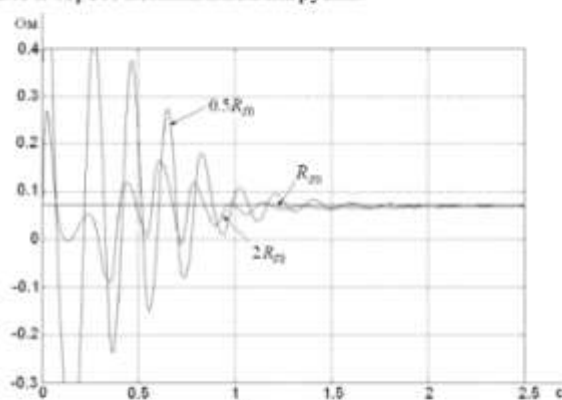


Рисунок 6

Заключение. Разработан принцип построения универсального векторного управления, позволяющий путем незначительного изменения алгоритмов управления осуществлять как управление скоростью ротора АД, так и его положением. Для управления скоростью используются только клеммные измерения, для управления положением к клеммным измерителям добавляется измеритель перемещения. И в том, и в другом варианте система является робастной по отношению к неопределенностям приведенного момента инерции ротора двигателя, нагрузке, внешним воздействиям, сопротивлениям ротора и статора, погрешностям датчиков. Система работоспособна, по крайней мере, при всех скоростях ротора, не превышающих номинальную скорость, как в двигательном, так и генераторном режимах с разгоном, стабилизацией и торможением при действии нагрузки и без нее. Система в процессе работы осуществляет непрерывный контроль температуры ротора и статора двигателя.

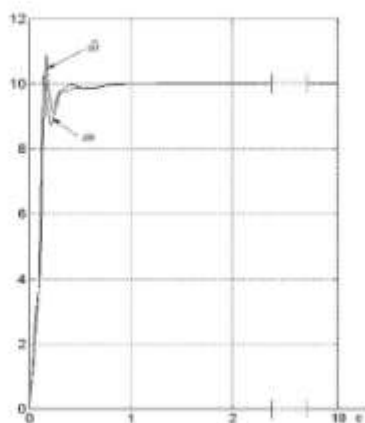


Рисунок 7 – Генераторный режим

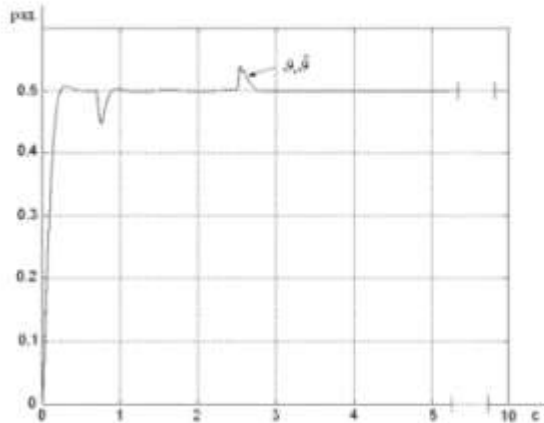


Рисунок 8 – Позиционное управление

Литература.

1. Hu, J. Position tracking control of an induction motor via partial state feedback / J. Hu, D.M. Dawson and Y. Qian // Automatica. – 1995. – Vol. 31, N 7. – Pp. 989-1000.
2. Lee, H.-T. Adaptive SPR speed/position control of induction motor / H.-T. Lee, L.-C. Fu and S.-H. Hsu // Proceeding of the 15th Triennial World Congress of the IFAC Congress, Barcelona, Spain, 21-26 July, 2002.
3. Guerrero-Ramirez, G. Adaptive nonlinear control of rigid robots driven by current-fed induction motors / G. Guerrero-Ramirez, U. Tang // Proceeding of the 41st IEEE Conference on Decision and Control, Las Vegas, Nevada USA, 10-13 December 2002. – Pp. 2038-2043.
4. Lin, S.-K. Adaptive backstepping motion control of induction motor drives / S.-K. Lin, C.-H. Fang, M.-P. Chen, J.-K. Chen // Proceeding of the 15th Triennial World Congress of the IFAC Congress, Barcelona, Spain, 21-26 July, 2002.
5. Gan, W.-C. Design and analysis of a plug-in robust compensator: an application to indirect-field-oriented-control induction machine drives / W.-C. Gan, L. Qiu // IEEE Trans. on Industrial Electronics. – 2003. – Vol. 50, № 2. – Pp. 272-282.
6. Потапенко, Е.Е. Синтез и анализ компенсационных фильтров многофазных неопределенных сигналов / Е.Е. Потапенко, Е.М. Потапенко // Вісник Національного технічного університету "ХПІ". Збірник наукових праць. Тематичний випуск "Проблеми автоматизованого електропривода. Теорія і практика". – Харків: НТУ "ХПІ". – 2003. - №10, т.2. – С. 342-344.
7. Потапенко, Е.М. Синтез інваріантних і аддітивних к зміненню сопротивлення статора алгоритмов векторного управління асинхронним двигувателем / Е.М. Потапенко, Е.Е. Потапенко // Проблемы управління інформатики. – 2007. – №2. – С. 16-29.
8. Потапенко, Е.М. Оцінка векторів потокосцеплений і их скоростей в двигательях переменного тока / Е.М. Потапенко, Е.Е. Потапенко // Вісник Національного технічного університету "ХПІ". Збірник наукових праць. Тематичний випуск "Проблеми автоматизованого електропривода. Теорія і практика". – Харків: НТУ "ХПІ". – 2003. - №10, т.1. – С. 105-107.
9. Kubota, H. DSP-based adaptive flux observer of induction motor / H. Kubota, K. Matsuse and T. Nakano // IEEE Trans. on Industry Applications. – 1993. – Vol. 29, N 2. – Pp. 344-348.
10. Dessoude M. Electrisite de France (EDF), R&D Division, Electrical Equipment Department (France), Personal Communication, June 1994.
11. Beguenane, R. Induction motor thermal monitoring by means of rotor resistance identification / R. Beguenane, M.E.H. Benbouzid // IEEE Trans. on Energy Conversion. – 1999. – Vol. 14, N 3. – Pp. 566-570.
12. Franceschini, G. A Genetic Algorithm Approach to Design Flux Observer for Induction Servo Motors / G. Franceschini, A. Piazzoli, C. Tassoni // In Proc. IECON '94. Italy, Bologna. Sept., 1994. – 1994. – V.3. – P. – 2132-2136.
13. Ploix, S. An extended model of induction machine for failure detection / S. Ploix, O. Adrot, F. Kratz, C. Jung, J. Ragot // Preprints of IFIP / IFAC / IMACS Conf. On Control of Industrial Systems. – 1997. – V.3/3. – P. 55-62.
14. Потапенко, Е.Е. Энергосберегающее робастное управление асинхронными приводами / Е.Е. Потапенко, Е.М. Потапенко // Механіка та машинобудування. (Харків, ХДПУ).-1999.-№1.-С.106-111.
15. Потапенко, Е.М. Синтез робастных комбинированных регуляторов токовых контуров при векторном управлении двигателями переменного тока / Е.М. Потапенко, Е.Е. Потапенко // Проблемы управления и информатики. – 2006. – №6. – С. 45-54.